

FIG. 8

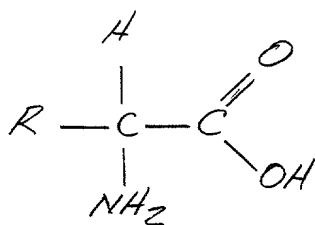


Fig. 11a

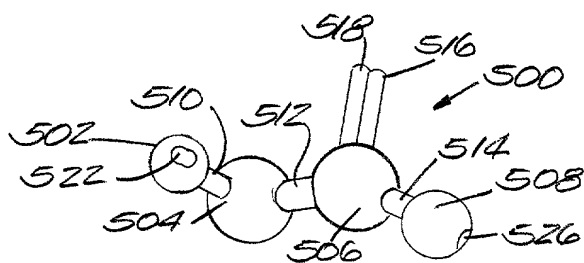


Fig. 11b

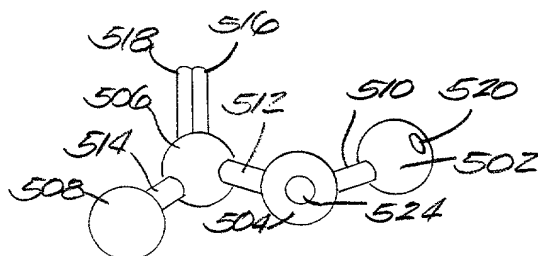


Fig. 11c

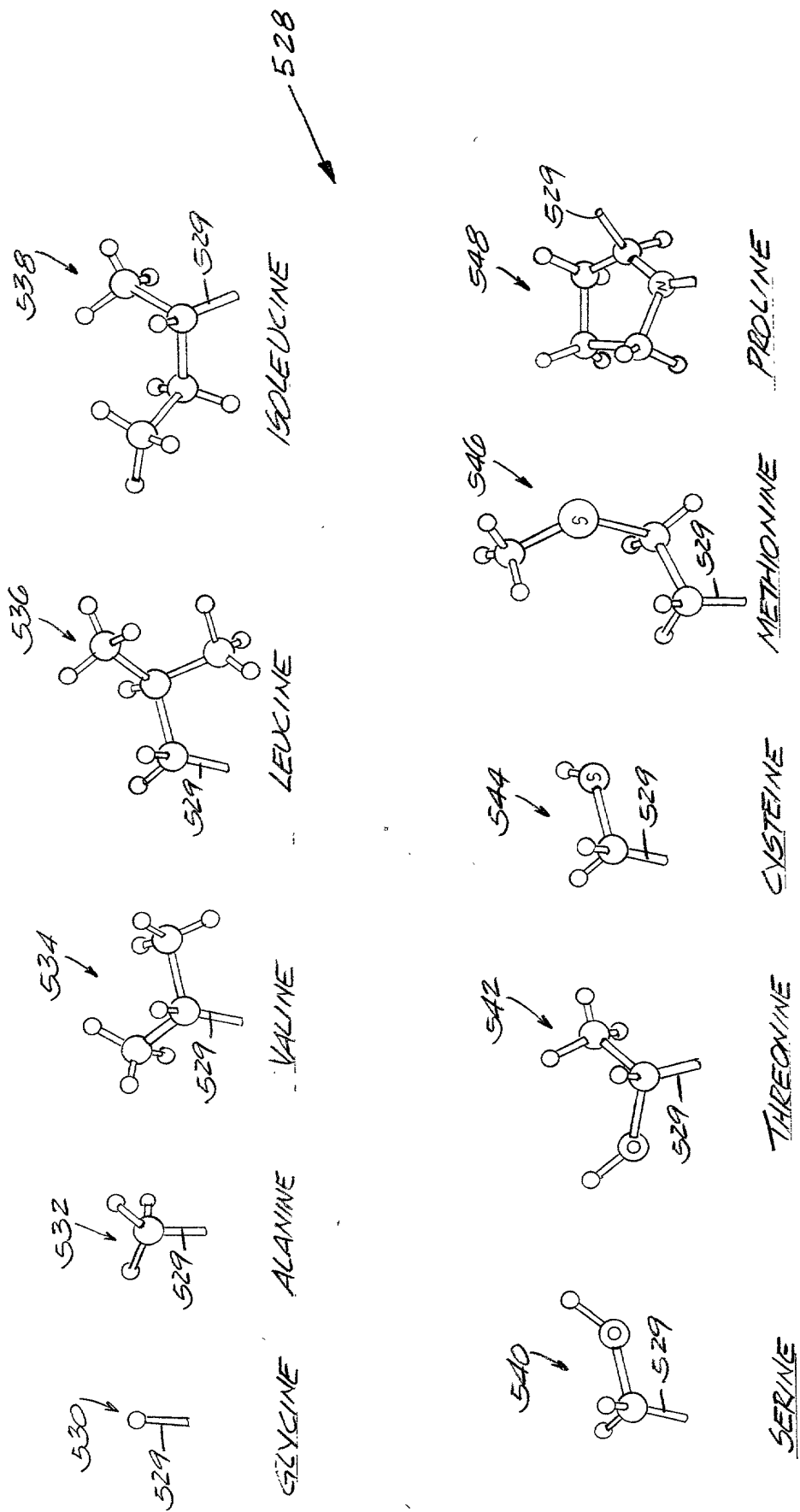


Fig. 13a

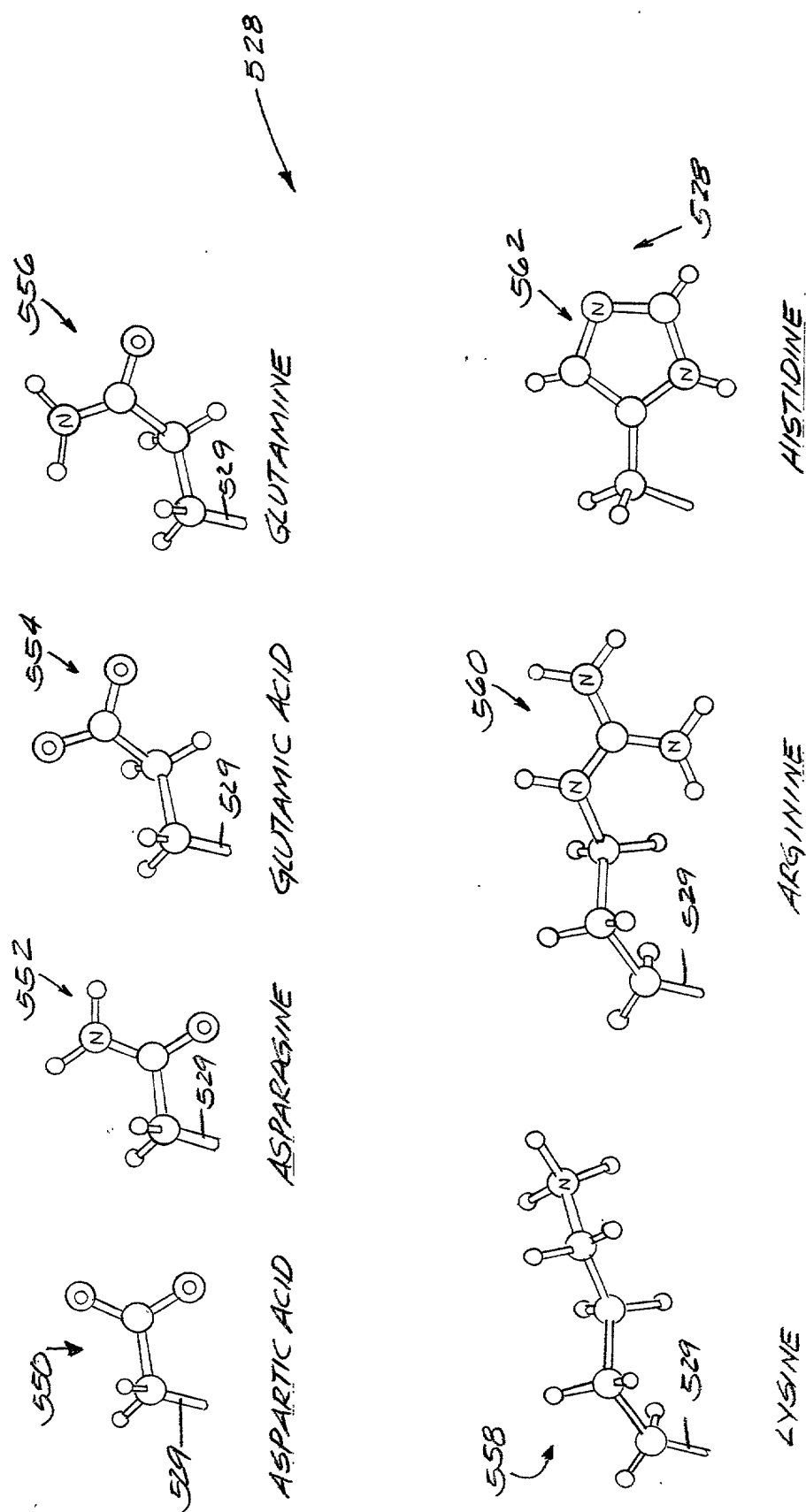
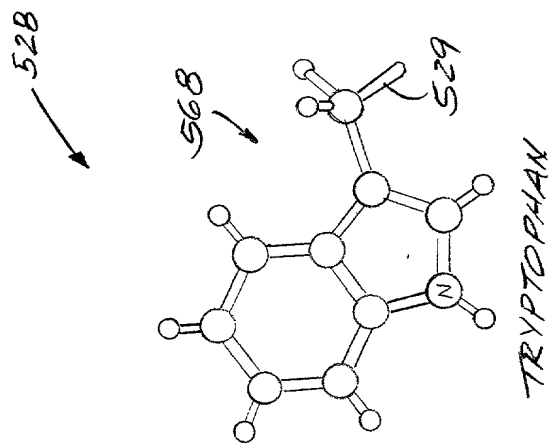
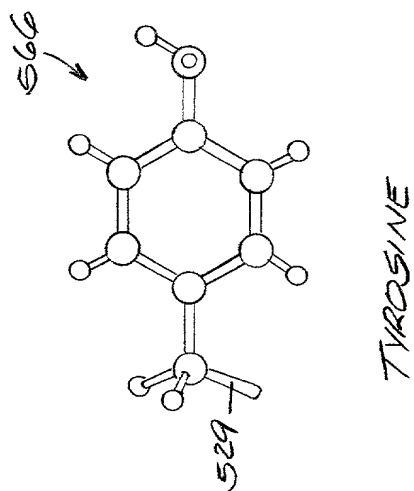
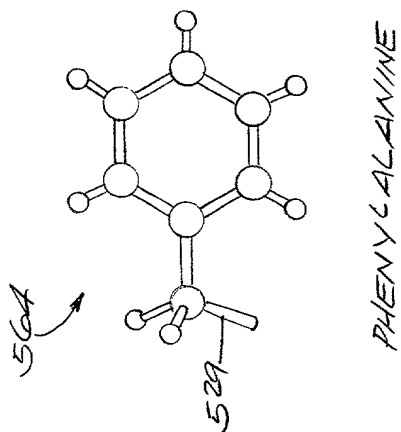


Fig. 13b



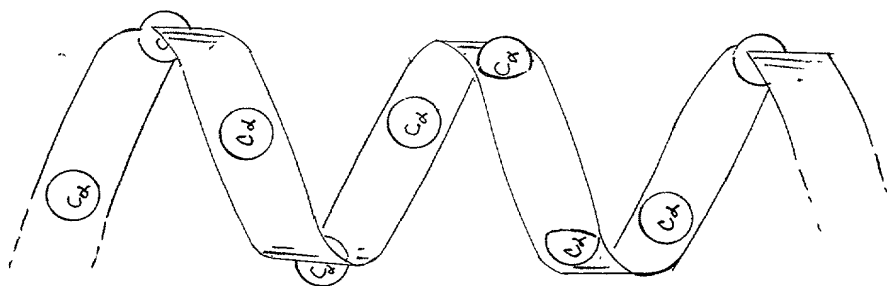


Fig. 15a

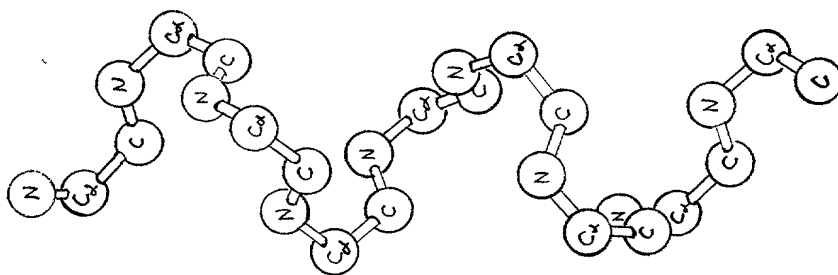


Fig. 15b

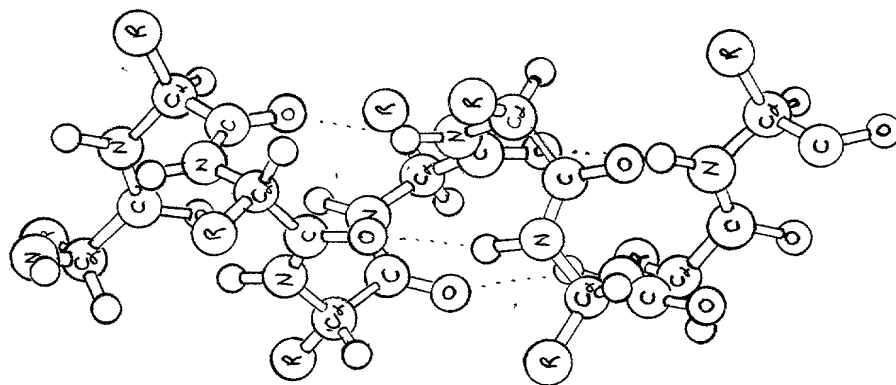
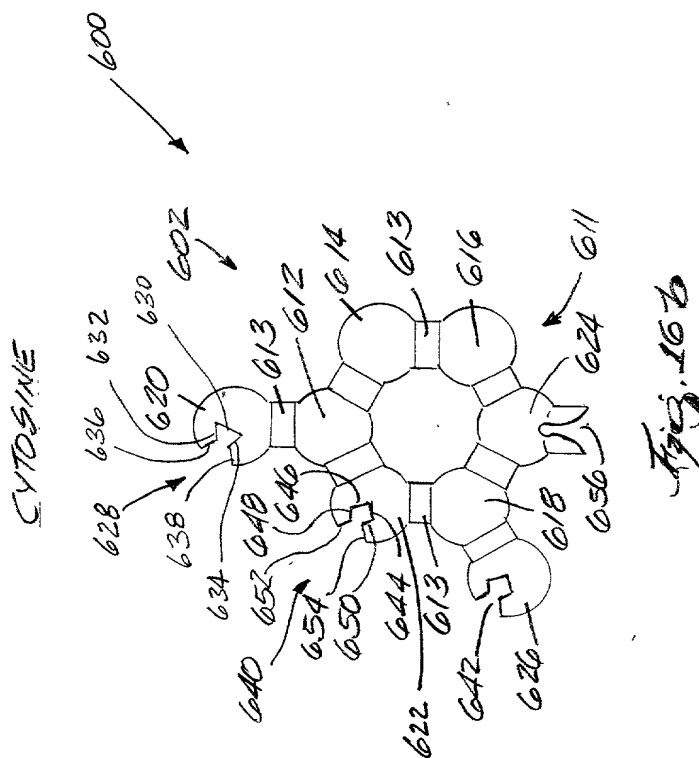
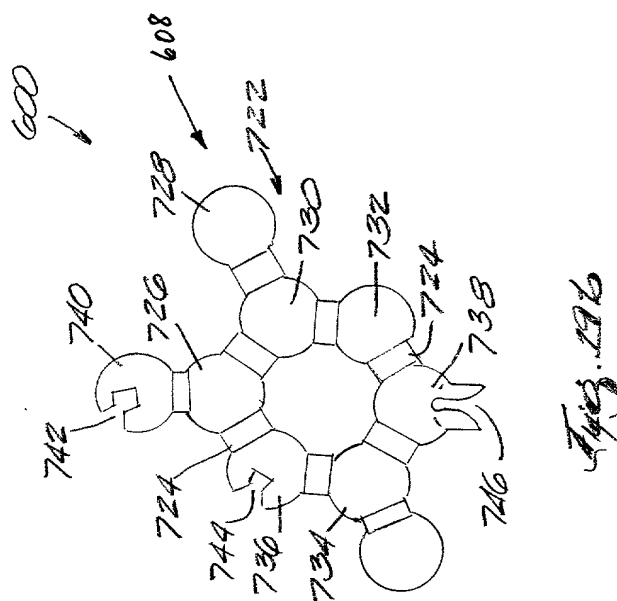
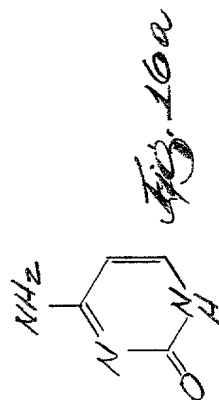
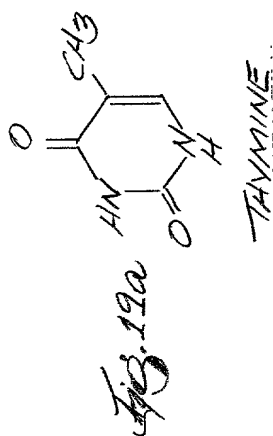
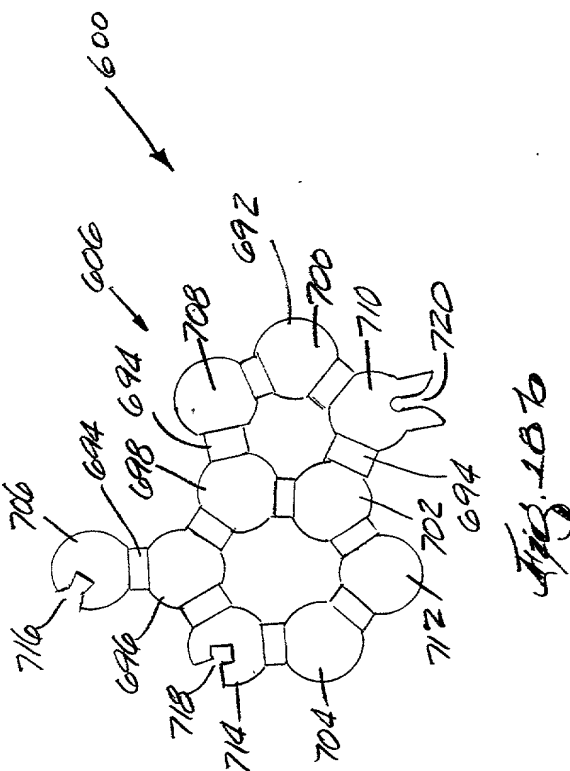
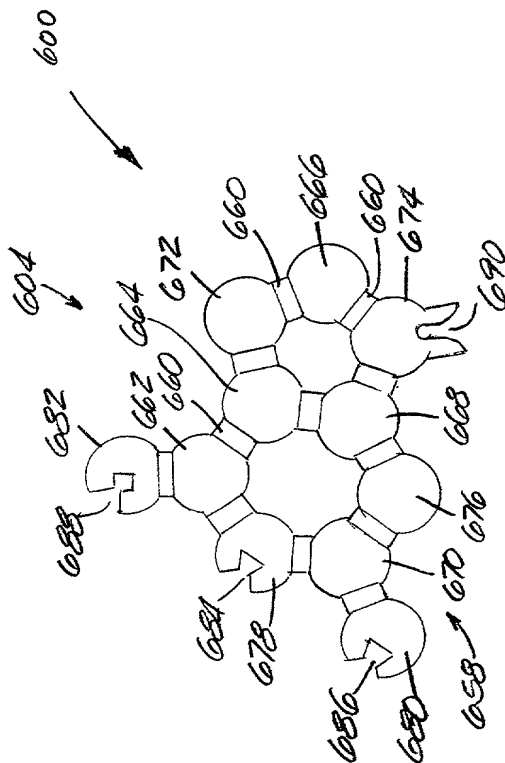
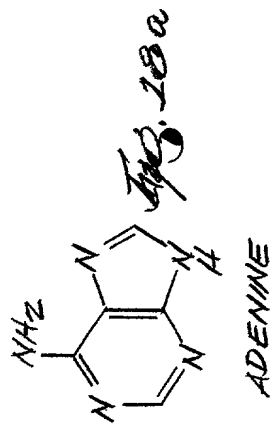
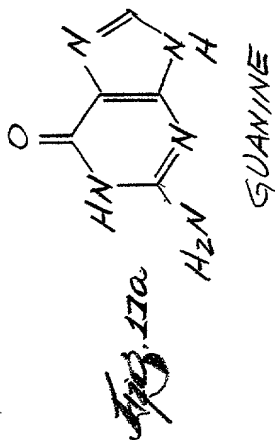


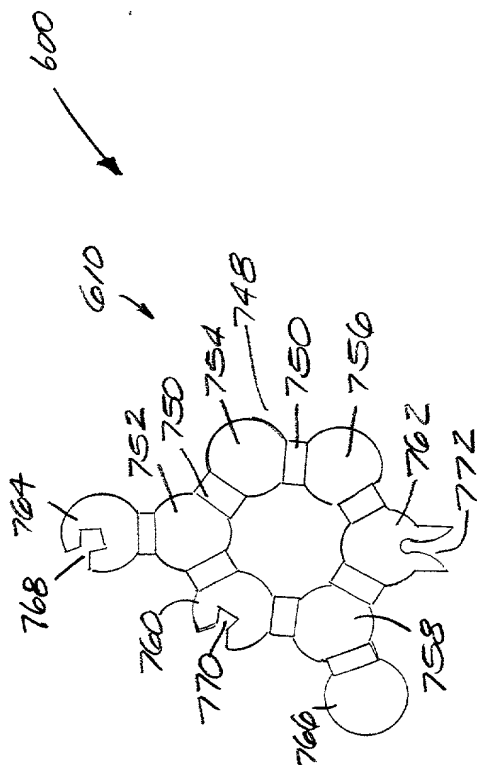
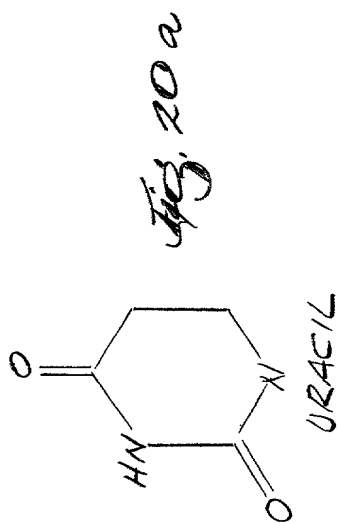
Fig. 15c



Fig. 14







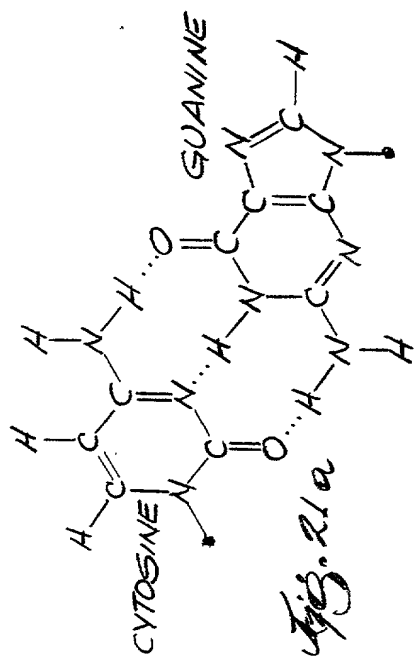


Fig. 21a

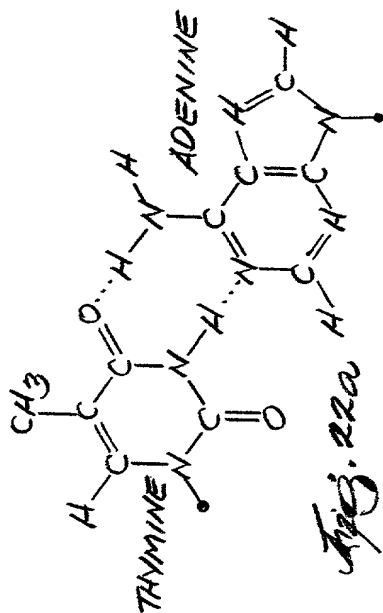


Fig. 22a

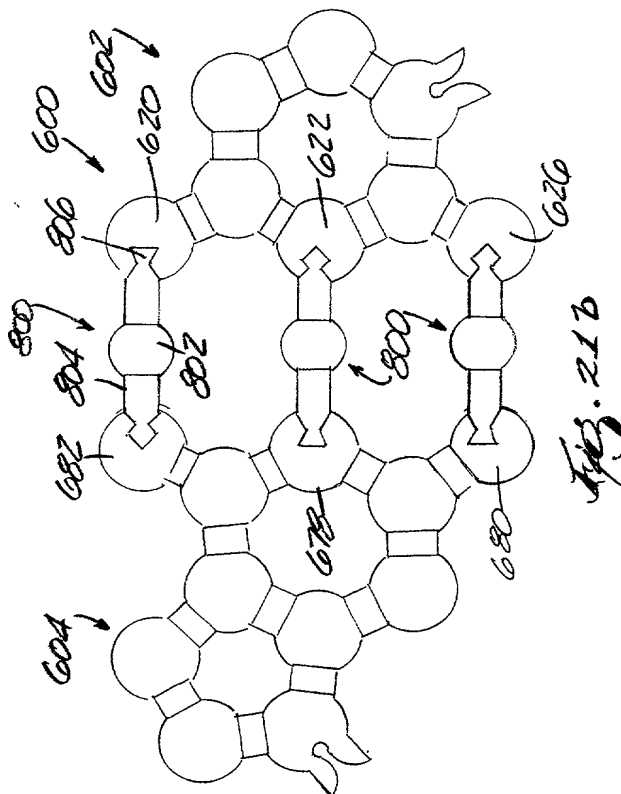


Fig. 21b

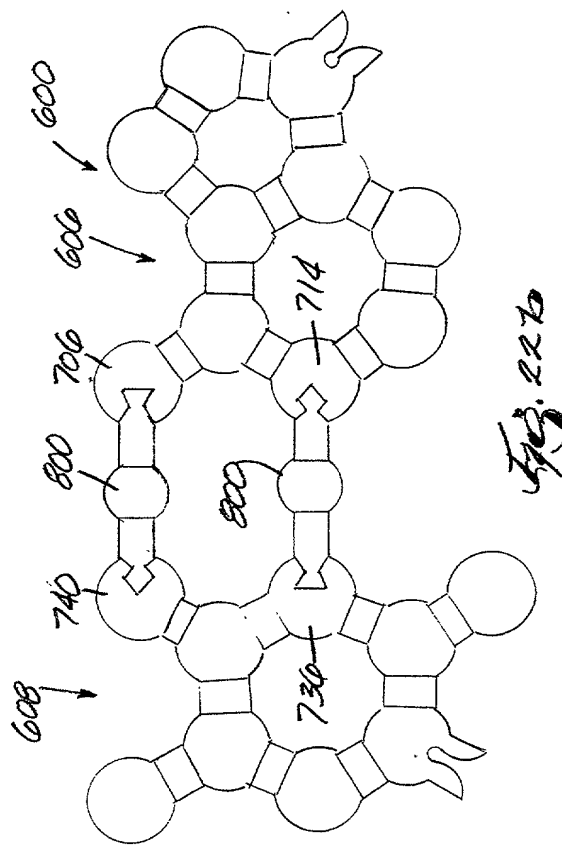


Fig. 22b

Fig. 23a

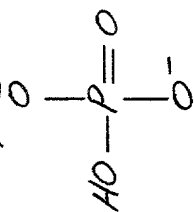


Fig. 24a

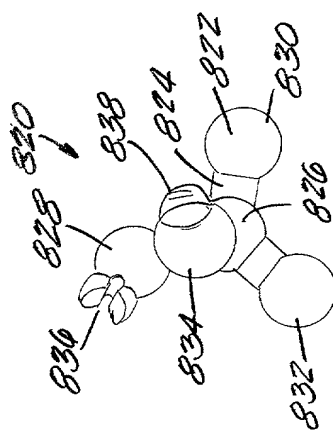
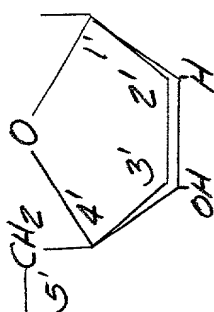


Fig. 23b

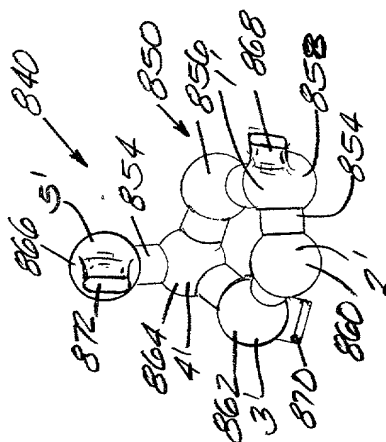
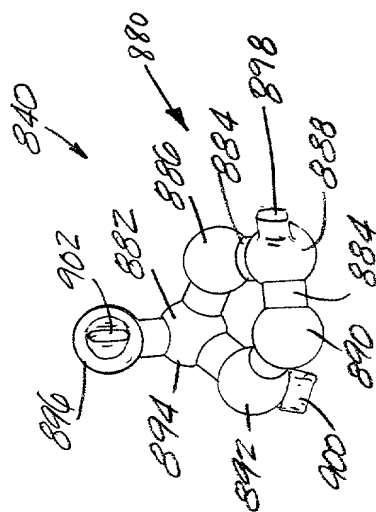
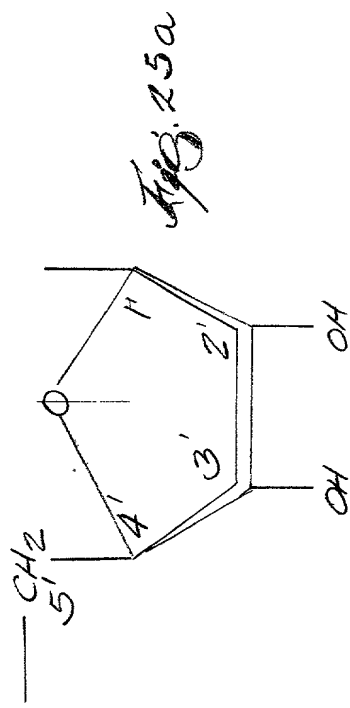


Fig. 24b



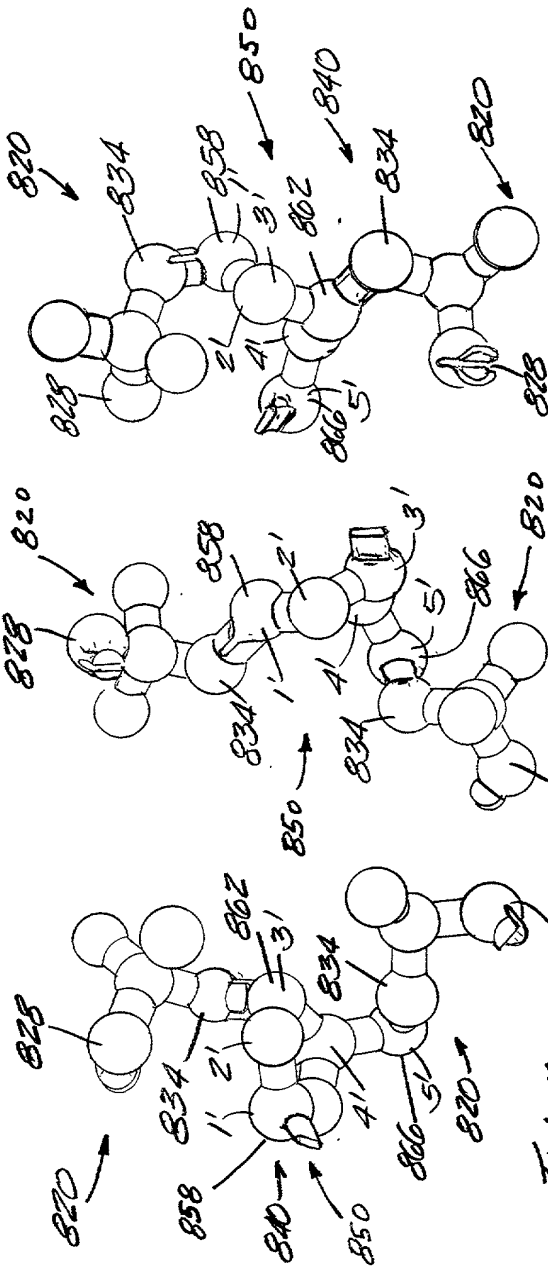


Fig. 10a Fig. 10b Fig. 10c

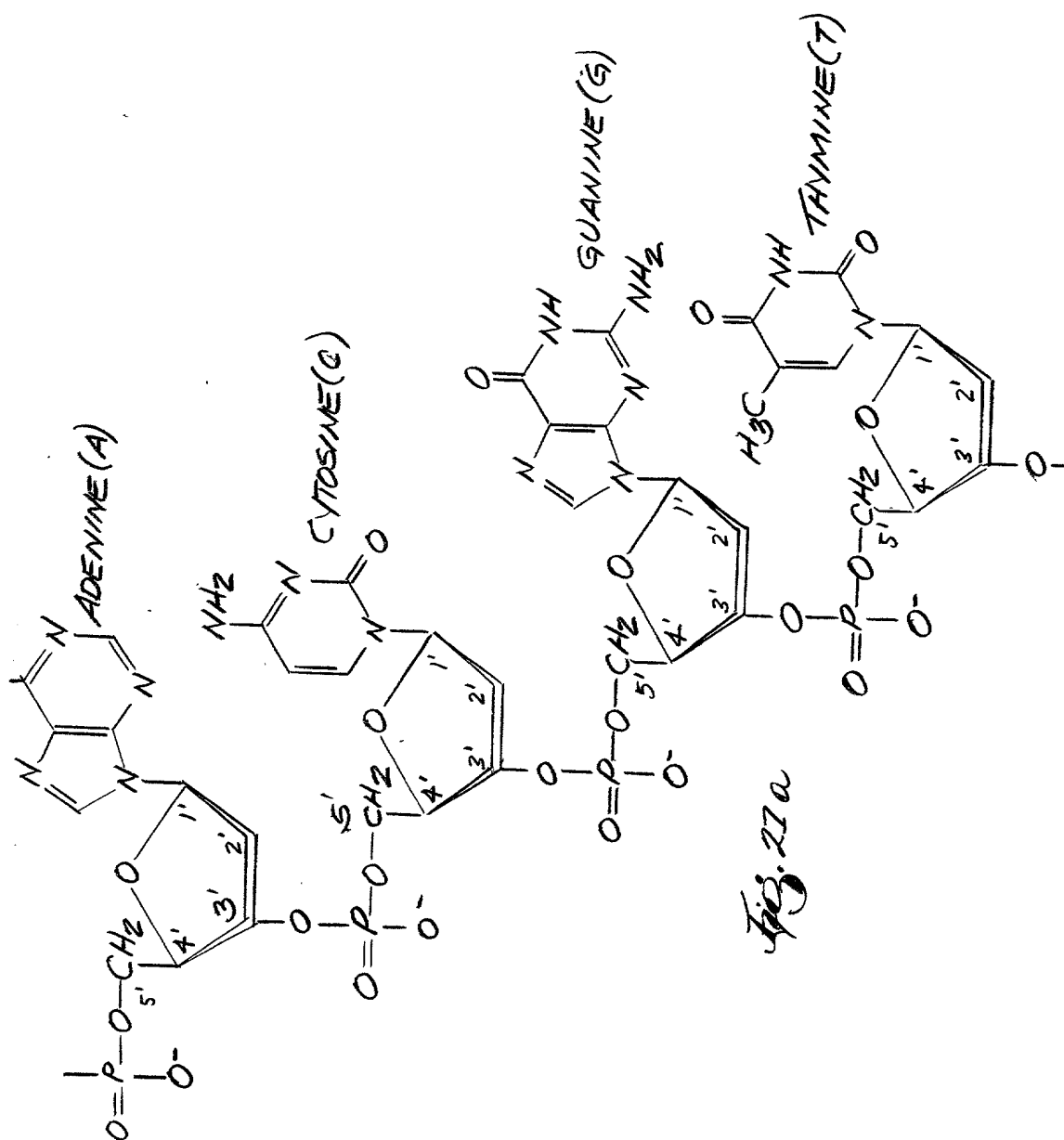


Fig. 22a

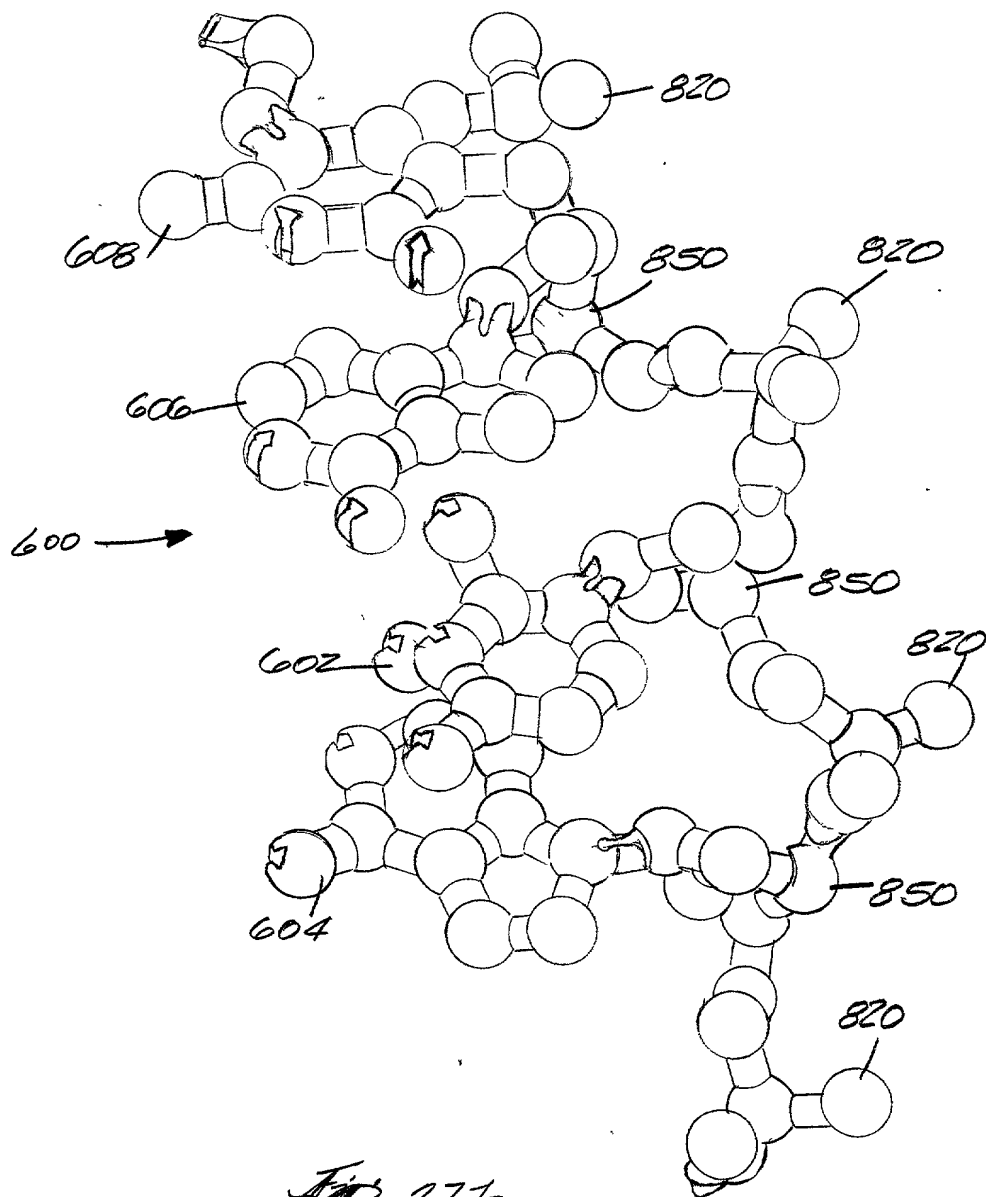
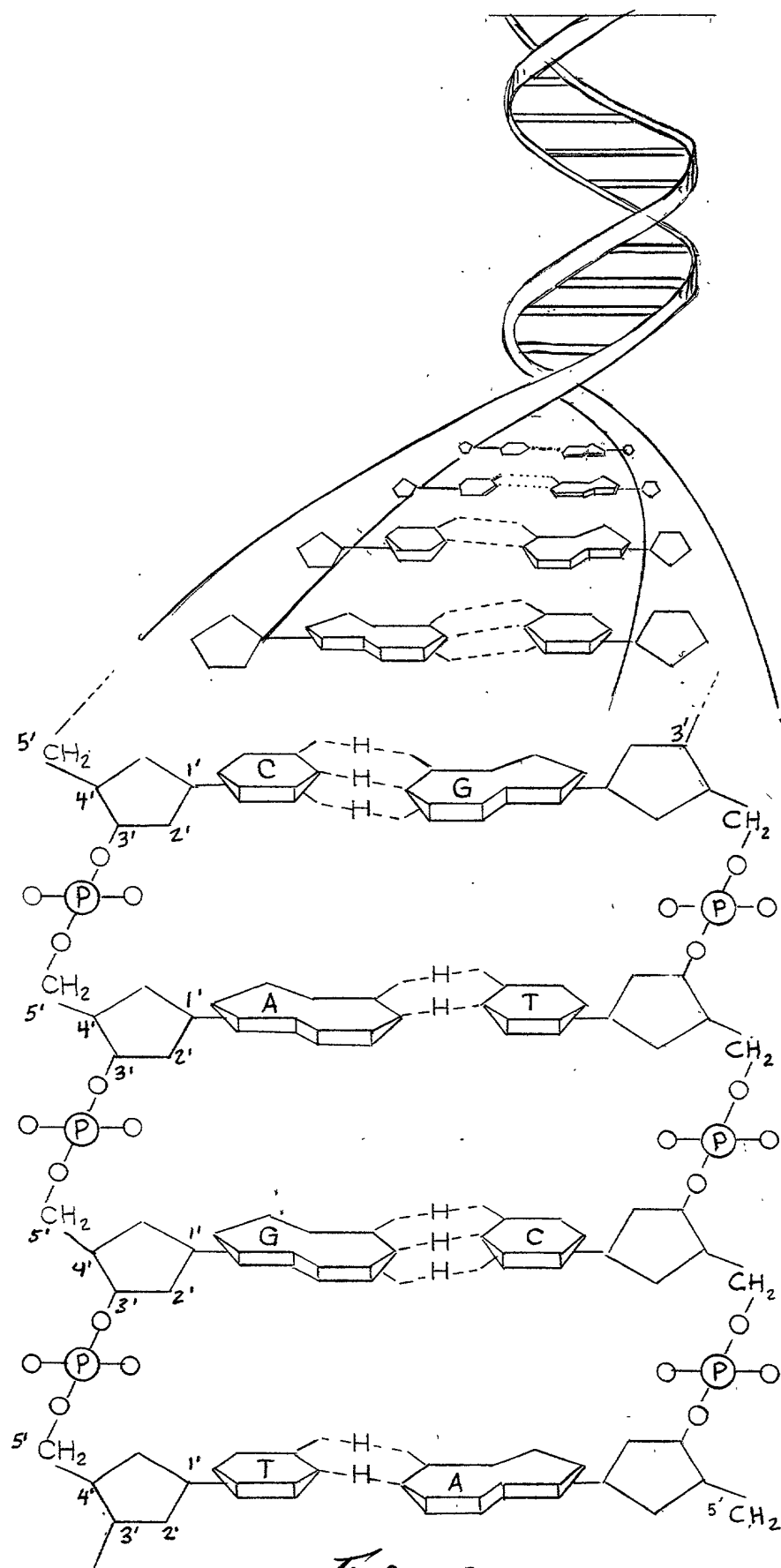


Fig. 216



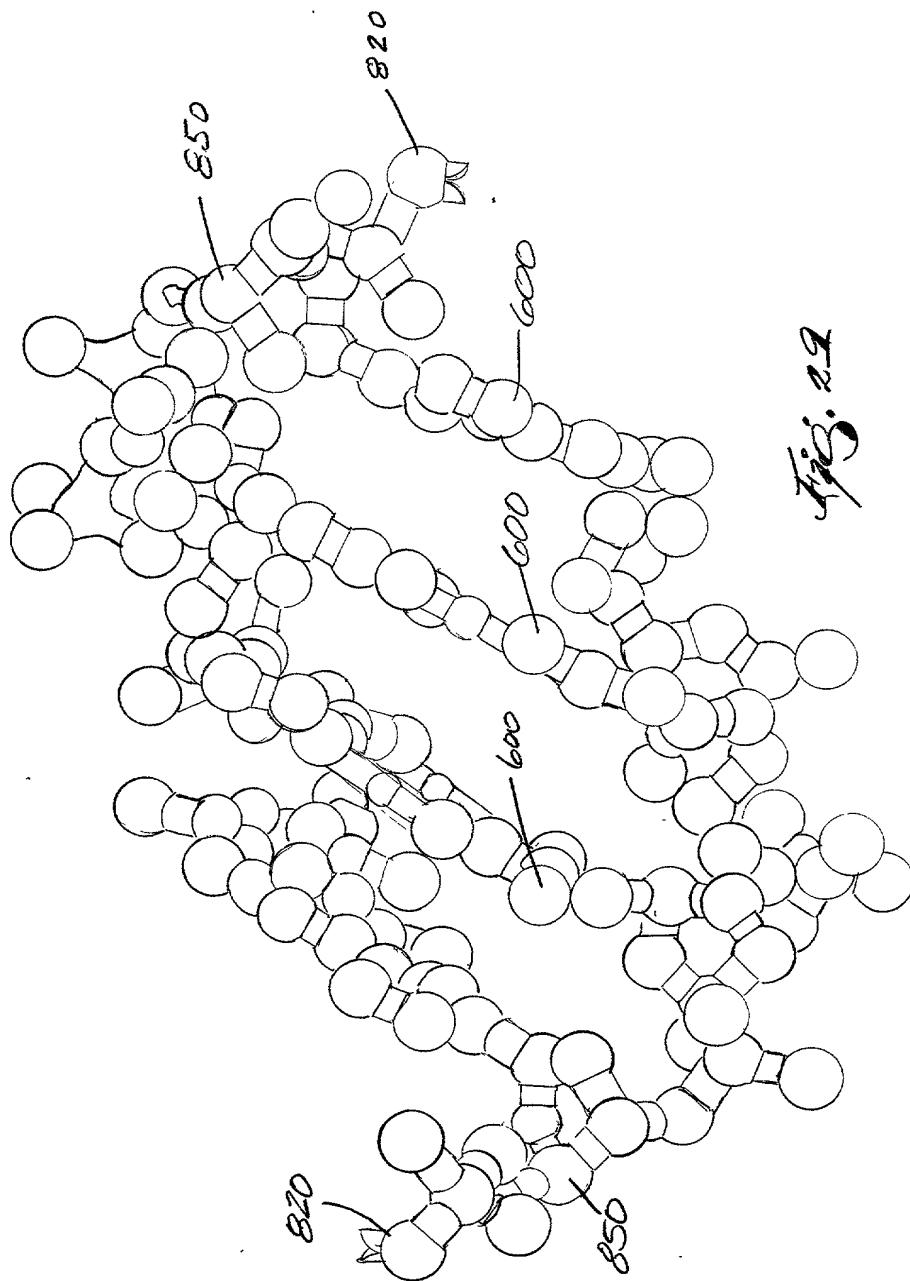


Fig. 29

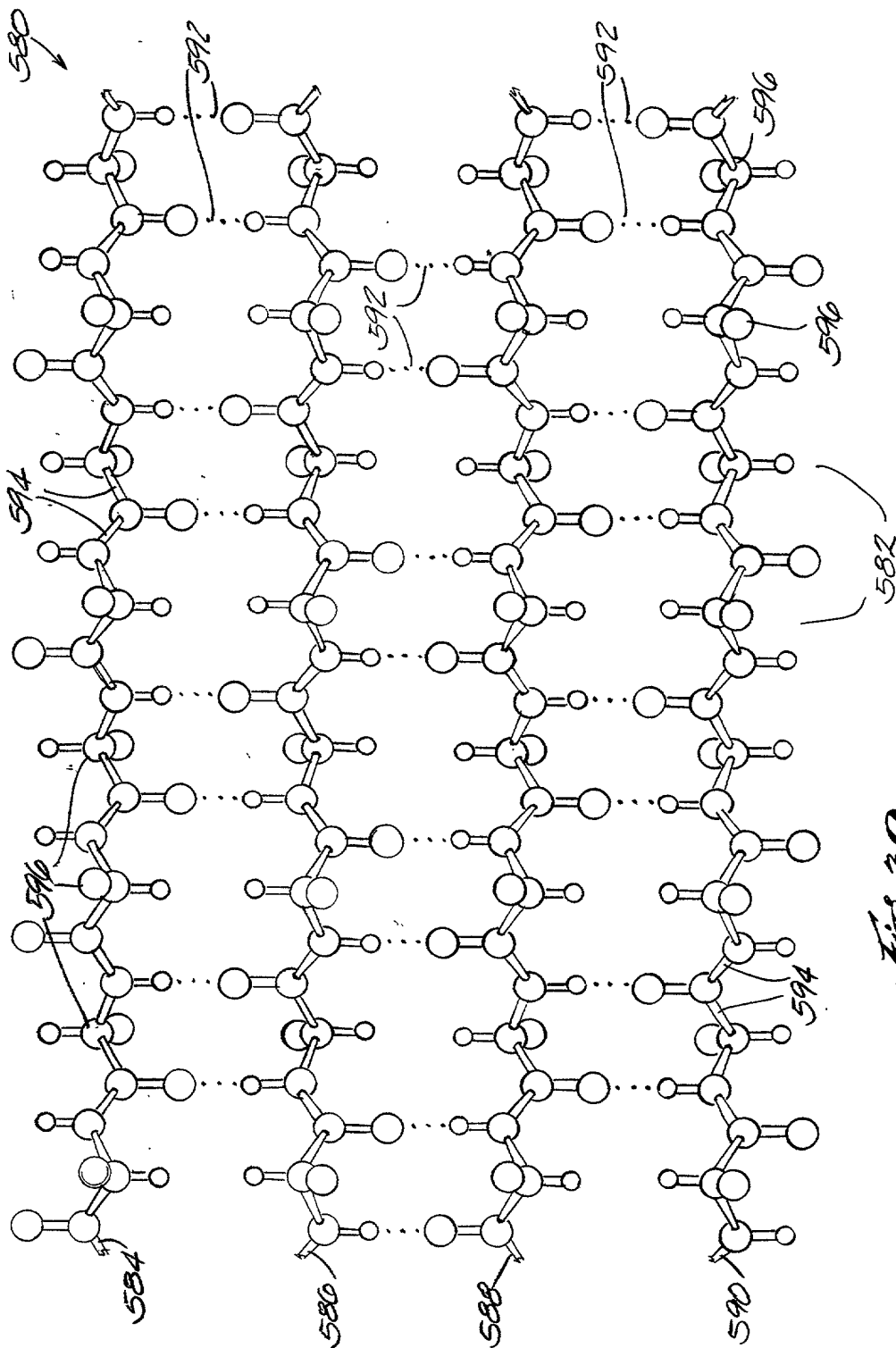


Fig. 30

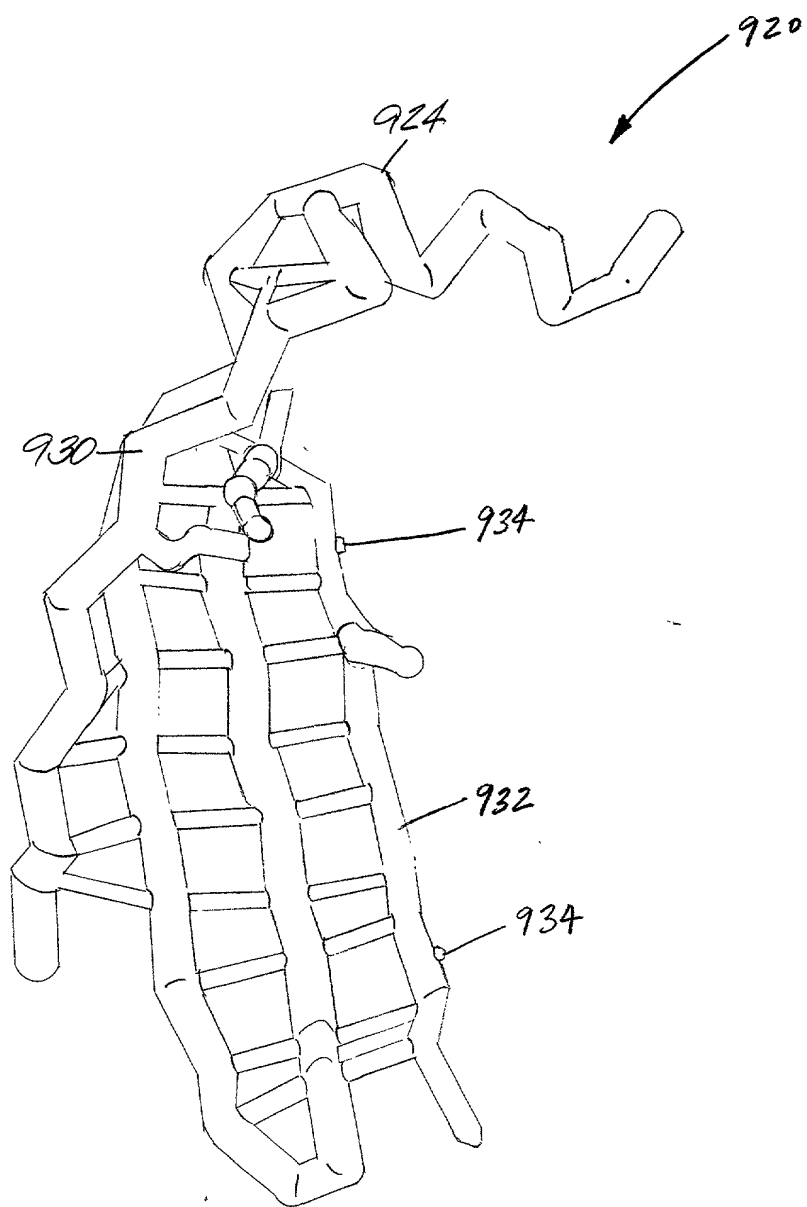


Fig. 31a

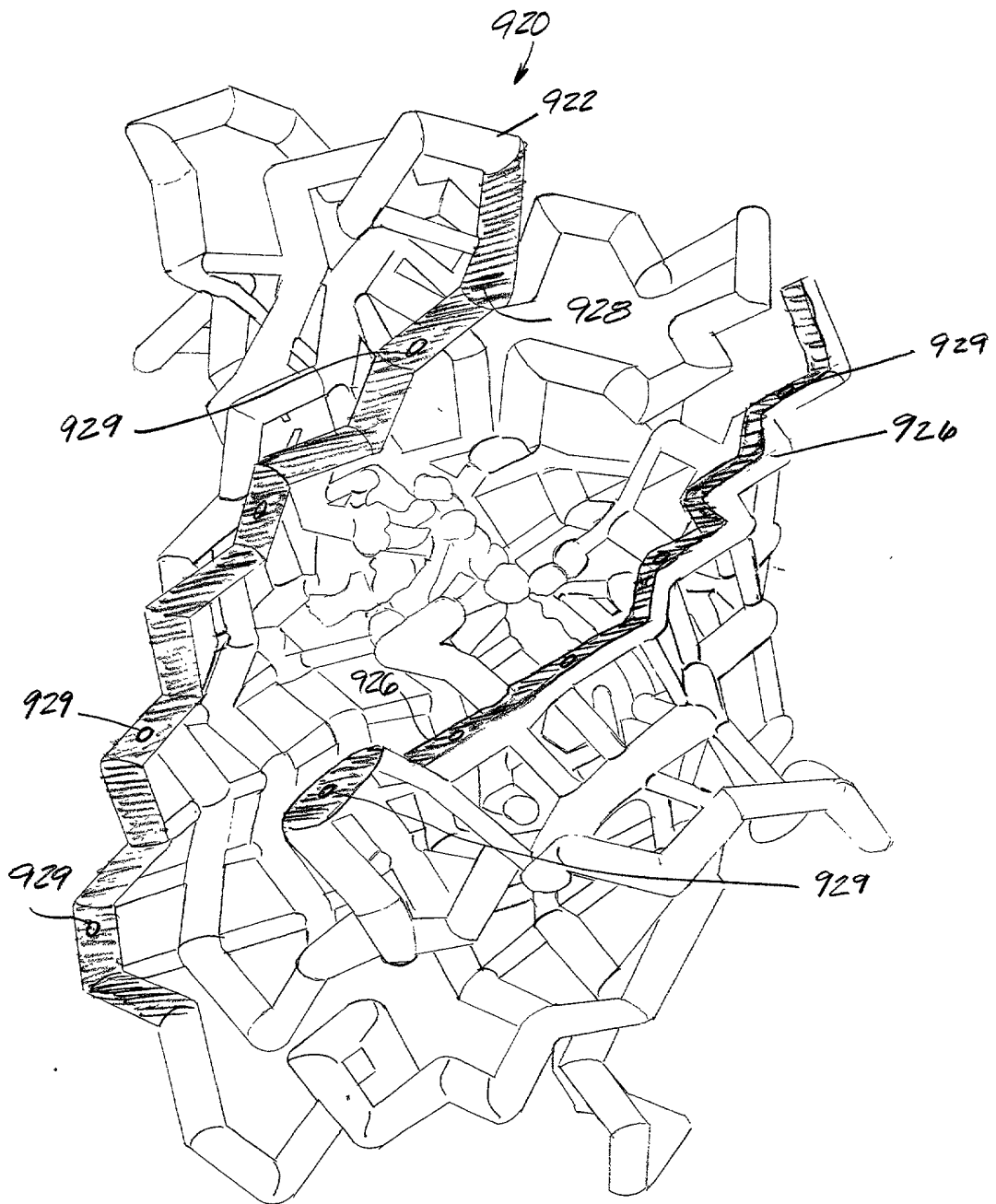


Fig. 316

FIG. 32

